

九州大学 工学部

正員 海田輝元

正員 宮原陽一

正員 棚田哲也

学生員 学生員

二瀬 了

1.はじめに 河口感潮部は潮汐と河川国有流の影響を受ける水域であり、水理的に複雑な流れの状況を呈する所である。感潮部での水理や塩分濃度の時間変動については従来から多くの研究がなされたり解明されてきた。しかしながら、汚濁物質、特に底泥の潮汐に伴う挙動については未知の部分が多い。本研究は筑後川河口感潮部におけるSSの挙動を既存の実測資料<sup>1)</sup>から整理し、さらに、それと既に筆者らが室内実験で得た結果<sup>2),3)</sup>を比較し、感潮部での潮汐に伴う底泥の輸送、沈降、巻き上げについて検討したものである。

2.対象水域について 筑後川河口部の概略を図-1に示す。図で示した水域はすべて感潮部になつてゐる。図中の数字は河口からの距離(km)を示し、黒丸の位置では流心で水位、流速(鉛直方向に等間隔で5点)、Cl<sup>-</sup>(同)、SS(同)が測定され、三角で示した位置では上記のうち流速の測定が欠けてゐる。測定日時は昭和42年10月5日の4時から24時までで、その間30分あるいは1時間間隔で測定が行なつてゐる。なお、測定日は大潮で、測定日より前一週間は晴天が続けていた。図-2は筑後川河口0kmにおけるCl<sup>-</sup>濃度の経時変化を示す。高潮及び干潮時におりともCl<sup>-</sup>濃度の鉛直分布はほとんど同じである状態を示してゐる。

3.水理及び水質特性について 図-3,4に例として0, 18km地点における流速等の経時変化を示す。各成分は各自周期的に変動してゐるが、周期や対称性は各成分により異なる。水位の時間変化については河口部でも既に正弦曲線をなしており、下げ潮時がながらかで下げ潮の期間の方が上げ潮より長くなつてゐる。この傾向は上流へ行く程顕著であり、18km地点では一潮時のうち半分程度しか潮汐の影響を受けず、他の河川国有流に支配されている。Cl<sup>-</sup>についてはCl<sup>-</sup>の供給が上げ潮時に行なわれるため、水位の変動と良く対応してゐる。流速については一周期内の最大流速は上げ潮時の比較的水位の低い時に生じてゐる。しかし上げ潮及び下げ潮時の最大流速の持続時間は下げ潮の方があまり長くなつてゐる。また、干潮時に流速が0になる時刻は河川国有流の影響を受け、各地点での最干潮時より30分から1時間程度遅くなつてゐる。

4-1 各地点でのSSの挙動について 感潮部各地点でのSSの時間的変動は一般には流速の変動とかなりの相関があると考えられる。そこで流速とSSとの関係を満潮時から(図中の⑤)-潮時について示したのが図-5である。このSSと流速との関係は著者らが室内実験で得た結果<sup>2),3)</sup>を用いてある。まず、下げ潮時にかけてみてある。下げ潮に入り流速が増加するにともかかわらずSSは低下し、極小値となる。その後流速が最大となり、流速最大時あるいはその後の流速の若干低下時にSSは増加し、極大値となる。その後流速の低下とともにSSは減少し、流速が0

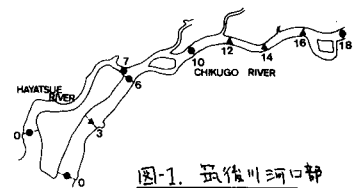


図-1. 筑後川河口部

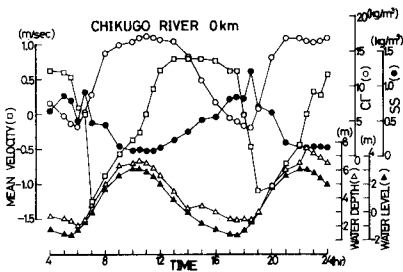
図-2. Cl<sup>-</sup>濃度の鉛直分布の経時変化

図-3. 経時変化

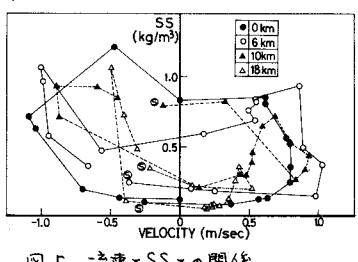


図-5. 流速とSSとの関係

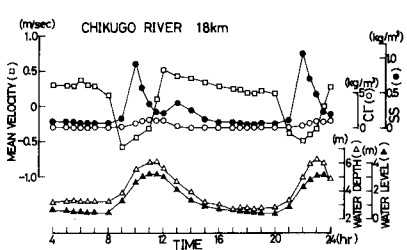


図-4. 経時変化

近くで極小値をとっている。しかし河口からの距離によりパターンが異なり、上流部(0~18 km)では流速の低下に伴ってSSが急激に低下し、下げ潮の期間内では流速とSSとの関係は小さなループを描いている。下流部(0~6 km)ではSSはさほど低下せず、小ループは存在しない。これは、上流部では下流部より潮流時に遅れ流速の低下が遅く(沈降が遅れて)下流にSSが移流され、下流部ではせき上げSSが低下しないためと考えられる。次に上げ潮時につけた、0 km地点では海域からの潮流の影響が大きく、海域で沈降しながら、たゞSSが比較的小さな流速時に流入し、SSは最大値を示し、その後流速が増加しても海域からのSSの供給が少なくSSは低下している。6 km地点より上流部では下流からの移流や差しあげのため、流速が最大時にSSは極大値を示し、その後低下していく。よって各地点でSSは一潮時に極大、極小値を各々二個ずつ有している。

4-2 差しあげと沈降について 0~6 km, 10~18 km 区間にかけて各時間における沈降及び差しあげ量を算定したのが図-6,7である。図中の実線は各時刻における区間内SS量であり、破線は前時刻の実存在量値を出発値として、区間内への出入量のみから算定した次の時刻のSS量を結んだものである。従って、その差は区間内における各時間間隔内での沈降あるいは差しあげ量を示し、図中の△のハッチは差しあげ、□のハッチは沈降を示している。上流部では潮流の影響が河口部より遅れるため、差しあげ、沈降とも下流部より一時間程度の遅れが認められるが、傾向はほぼ同じである。満潮時から一潮時にかけて検討してみると、満潮時には上げ潮後半からのかなりの沈降が引き続いている。次に下げ潮時に移り流速が増加し、最大流速になると前に差しあげが始まり、最大流速の期間が長く続いため差しあげが活発に起つている。次に、干潮に近づくにつれてまだ比較的大きな流速時に沈降が始まつている。この時点では比較的粒径の大きな粒子が沈降していると考えられる。沈降は干潮近くまで続いている。次に干潮になり、その後流速が反転し最大流速になると、この期間は時間も短かく沈降、差しあげとも顕著でない。流速が最大流速より若干低下した時に再び差しあげが生じ、満潮にむけ前に沈降が始まり、流速が反転しても沈降が引き続いている。以上を周期的に繰り返している。これらの現象は著者らが既に円形水路を用いて得た実験結果<sup>3)</sup>と基本的には同様であり、流速の増減と差しあげ及び沈降現象とのずれをよく表わす妥当な結果だと考えられる。また、周期的潮流場での揚流力の時間変動に伴う差しあげ及び沈降フラックスの変化を著者らは室内実験から図-9に示したようにモデル化した。本研究でのこれらの関係を求めたのが図-10である。揚流力は各時間ごとに流束が成り立つとして、 $n=0.035$ ( $n$ の値は水面勾配と平均流速より得られる値にほぼ等しい)としてマニピュレーターによる想定水面勾配Iを求め、 $I = \rho g H I$ として求めた。実験では流速を正弦関数に従って変動させ、潮流に伴う底泥の堆積位置の移動もなく条件は異なるが、比較的時間の長い下げ潮時の差しあげ及び沈降フラックスの変動は実験室内で得られた結果と同様である。上げ潮時には時間が短かく、測定値の数も少なくて明らかではない。以上より、著者らの室内実験で得た周期的揚流場での沈降、差しあげに関する知見が実際の底潮部での現象をかなり説明でき、さらには移流に対するSSの輸送を考慮すれば、実際現場でのSSの時間変動が明らかにならうと考えられる。最後に貴重な資料を提供して下った筑後川工事事務所に御礼申し上げます。《参考文献》1)筑後川工事事務所: 滝分浮泥・入退潮調査資料, S43.3 2)福岡他, 底泥の差しあげと沈降=関子原亮(日), 第15回水工学シンポジウム, pp152~157 3)海田ら, 第36回年講, II, pp5~6, 1981.10

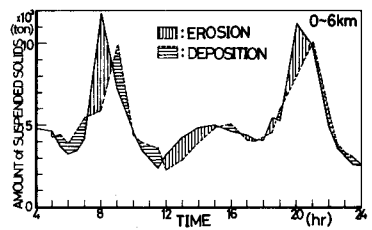


図-7. 沈降及び差しあげ

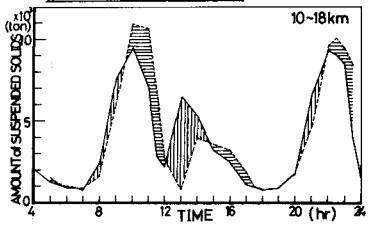


図-8. 沈降及び差しあげ

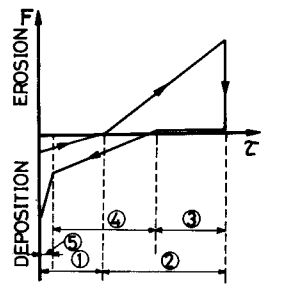


図-8 てこフラックスとの関係(式別)

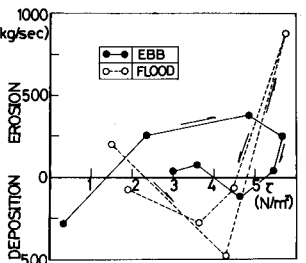


図-9. てこフラックスとの関係(実測)